

道路橋合成床版の橋軸方向継手部の疲労挙動

九州大学 学生会員○徐 聖卓, 木脇 大元

九州大学 正会員 日野 伸一

九州大学 フェロー 太田 俊昭

九州大学 正会員 左東 有次

1. まえがき

コンクリート用型枠と引張補強材を兼務した底鋼板上に、ジベルを介してコンクリートを一体化した鋼板・コンクリート合成床版が近年、道路橋床版として広く適用されている。これらの床版を施工する際、現場でのコンクリート打設に先行して、橋軸方向にパネル化された底鋼板を、接合一体化する必要がある。本研究は、図-1のようなロビンソン型合成床版を対象に、引張ボルト接合を用いた底鋼板の橋軸方向継手構造を提案し、スパン中央部に設けた単純梁供試体による疲労試験を行い、継手部の剛性や疲労強度について検討したものである¹⁾。

2. 実験・解析概要

橋軸（床版配力鉄筋）方向に分割された底鋼板相互の支間中央部の継手構造としては、図-2に示すようなHTB引張継手タイプEを基本とし、それを補強した構造E1、E2、比較用の継手無し供試体を含めた4種類について実験を行った。疲労試験の載荷は、底鋼板に作用する引張応力振幅に対して、3段階の荷重振幅（下限：4.9kN、上限：20.5kN、36.2kN、58.8kN）を設定して、各々50～100万回の繰返し載荷を経て破壊に到達するまで実施した。加えて、解析では、継手部の幅方向の非均質性を考慮するために、汎用解析プログラムLUSAS VER 13.0を用いて、3次元弾塑性FEM解析を行い、接合板の挙動、すなわち継手の剛性および変形を検討した。図-3に1/2部分の要素分割図、荷重条件を示す。

3. 結果および考察

疲労試験および静的載荷試験結果の一覧を表-1に示す。疲労試験に関しては、いずれの供試体も底鋼板の疲労破断により破壊した。一方、静的載荷試験に関しては、いずれもコンクリート上面が圧壊した。破壊荷重の計算値は、RC理論に基づき求めたものである。

3.1 変形性状

図-4は、疲労試験のタイプE1に対して、支間中央位置の最大たわみおよび残留たわみの変化を示している。図より、設計曲げモーメントの2倍程度まで残留たわみはほとんど生じておらず、良好な疲労耐久性を示していることがわかる。また、図-5は、静的載荷試験タイプEの支間中央接合部の開口幅曲線を示している。開口幅の増加に伴い高力ボルトが降伏し、最終的には、コンクリートが圧壊を起こしたものと考えられる。解析値は、

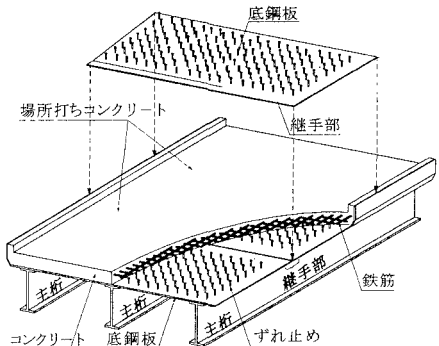


図-1 合成床版の概念図

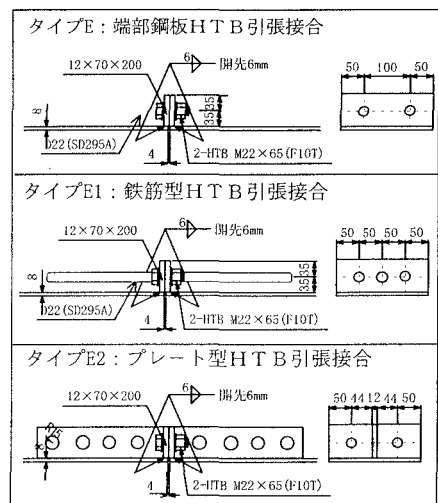


図-2 継手構造

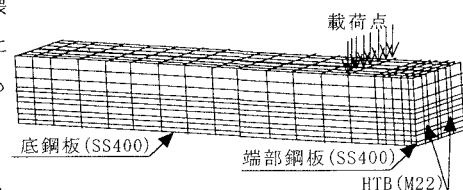


図-3 要素分割図

曲げ剛性をやや大きく示す傾向が見られるものの、
全体的に両者は比較的良く一致しているといえる。

3.2 S-N曲線

図-6は継手部底鋼板のS-N曲線を示す。載荷荷重の変化によってひずみ範囲は変動するので、次式によって定義される等価応力範囲を応力Sに対して用いた。

$$\Delta\sigma_e = \left[\sum_{i=1}^n (\Delta\sigma_i)^3 (N_i / N_e) \right]^{1/3}$$

ここに、 $\Delta\sigma_e$ ：等価応力範囲、 $\Delta\sigma_i$ ：レベル*i*の応力範囲、 N_i ： $\Delta\sigma_i$ の繰り返し回数、 N_e ：全繰り返し回数。ここで、実線は日本鋼構造協会の疲労設計指針²⁾に規定される許容疲労応力範囲であり、継手部底鋼板の疲労強度はF等級とH等級の間に分布している。

3.3 継手性能の評価

HTB引張継手タイプEは、疲労試験ではステップ2で破壊しており、端部鋼板上面の反力を増加させ、継手性能の低下を引き起こした。

これに対して、改良継手E1、E2は、疲労試験ではステップ3で破壊しており、継手部下面の開口を抑え、底鋼板の疲労破壊に至るまで継手性能の低下はほとんど見られず、溶接継手に該当する性能を有していることがわかる。また、静的載荷試験では、最大荷重は設計荷重に対して3倍以上の安全率を有し、ひびわれの分散性も向上が認められた。今後は、本研究の試験結果を反映した版供試体による検討が必要である。

4. まとめ

(1) HTB引張接合タイプEは、疲労試験の場合に、継手部下面での開口により、低い荷重で継手部または底鋼板が破壊し、継手性能の低下が見られた。

(2) 改良継手E1、E2は、継手部下面の開口を抑え、底鋼板の疲労破壊に至るまで継手性能の低下がほとんど見られず、最大荷重は設計荷重に対して3倍以上の安全率を有している。

(3) 疲労試験の破壊形式は、接合鋼板の溶接点付近における底鋼板の疲労による破壊であり、底鋼板の疲労強度はJSSCのF等級とH等級の間に分布している。

参考文献

- 徐・日野ほか：鋼・コンクリート合成床版の橋軸方向継手に関する基礎的研究、JCI年次論文報告集、Vol.21, No.3, 1999
- 日本鋼構造協会：鋼構造物の疲労設計指針・同解説 1993

表-1 実験結果

供試体	ステップ	上限荷重	繰り返し回数	破壊形式
タイプD	No. 2 (2)	36.2kN	10.1万	ボルトの疲労破壊
	(1)	20.5kN	100万	
	(2)	36.2kN	13~22万	
タイプE	No. 4 (2)	36.2kN	24.2万	コンクリート圧壊
	実験：9.98kN、計算：10.88kN			
	No. 2 (2)	36.2kN	54.8万	
	(1)	20.5kN	100万	底鋼板の疲労破壊
	(2)	36.2kN	55.9万	ボルトの疲労破壊 (底鋼板に亀裂)
	No. 4 (2)	36.2kN	94.2万	底鋼板の疲労破壊
タイプE1	(1)	20.5kN	50万	
	No. 6 (2)	36.2kN	51万	
	(1)	20.5kN	50万	コンクリート圧壊
タイプE2	実験：11.87kN、計算：11.95kN			底鋼板の疲労破壊
	(1)	20.5kN	50万	
	(2)	36.2kN	100万	
	(3)	58.8kN	12万	底鋼板の疲労破壊
静的	実験：11.80kN、計算：12.02kN			コンクリート圧壊
	(1)	20.5kN	50万	底鋼板の疲労破壊
	(2)	36.2kN	100万	
	(3)	58.8kN	2.8万	

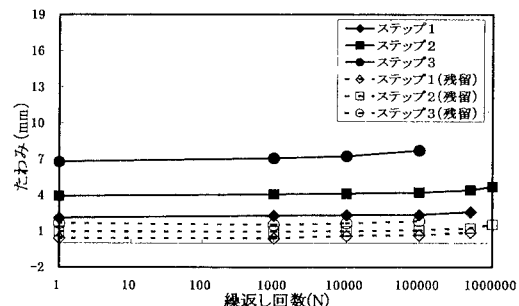


図-4 支間中央部のたわみ履歴曲線 [タイプE1]

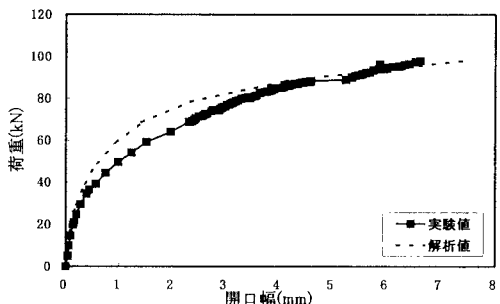


図-5 支間中央部の開口幅履歴曲線 [タイプE]

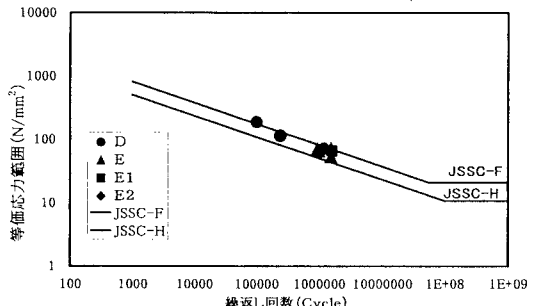


図-6 HTB引張接合継手のS-N曲線